

جغرافیا و توسعه شماره ۳۴ بهار ۱۳۹۳

وصول مقاله: ۱۳۹۰/۱۲/۲۰

تأثیید نهایی: ۱۳۹۱/۱۰/۹

صفحات: ۱۵۳-۱۶۶

نگرشی بر ناموزونی‌ها و روندهای ساعات آفتابی در ایران

دکتر فیروز مجرد^۱، کامران مرادی^۲

چکیده

میزان ساعات آفتابی با تأثیری که در تعیین میزان تابش خورشید دارد، عامل اصلی کنترل حیات، آب و هوا و سایر فعالیت‌های زیستی در سطح زمین به خصوص در مناطق خشک و نیمه خشک به شمار می‌رود. هدف این تحقیق آن است تا بر مبنای آخرین آمار، تصویری از ناموزونی‌ها و روندهای ساعات آفتابی در ایران، ارائه و مقادیر ساعات آفتابی را برآورد نماید. به این منظور سطح کشور با استفاده از روش تحلیل خوش‌های و قابلیت‌های نرم‌افزار ArcGIS با بهره‌گیری از آمار ساعات آفتابی سالانه و فصلی ۸۷ ایستگاه سینوپتیک طی یک دوره‌ی ۲۰ ساله (۱۹۸۶-۲۰۰۵) پنهان‌بندی شد. برای تأثیید صحت پنهان‌بندی از آزمون‌های پارامتریک سیداک و آنالیز واریانس یک طرفه یا آزمون‌های ناپارامتریک من-ویتنی و کروسکال-والیس استفاده شد. همچنین برای برآورد تعداد ساعات آفتابی و نیز شناسایی روندهای زمانی آن، به ترتیب از معادلات رگرسیون خطی چند متغیره و ساده استفاده گردید.

نتایج تحقیق نشان داد که از شمال به جنوب و از غرب به شرق کشور، بر میانگین تعداد ساعات آفتابی افزوده و از میزان تغییرپذیری آن کاسته می‌شود تا جایی که ضرایب تغییرات سالانه‌ی ساعات آفتابی، بر عکس توزیع مکانی تعداد آن، در سواحل دریای خزر بیشترین مقادیر و در کویرهای مرکزی کمترین مقادیر را دارد. در تمام سطح کشور، روندهای ساعات آفتابی، یا بطور معنی دار، افزایشی است و یا اصلاً معنی دار نیست. حتی یک مورد نیز روند کاهشی معنی دار در سطح کشور مشاهده نشد. میانگین روند افزایشی در سطح کشور، ۱۶/۶ ساعت در سال محاسبه گردید. مدل آماری نشان می‌دهد که بجز فصل تابستان، نقش عرض جغرافیایی در توزیع مکانی ساعات آفتابی، بسیار چشمگیر است. با استفاده از این مدل، تعداد ساعات آفتابی در سطح کشور بر مبنای ارتفاع و عرض جغرافیایی با دقت خوب برآورد گردید.

کلیدواژه‌ها: ساعات آفتابی، ایران، روندیابی، پنهان‌بندی، تغییرپذیری، برآورد.

مقدمه

یکی از عناصر مهم اقلیمی که آثار انکارناپذیری بر فعالیت‌های مختلف انسانی و فرآیندهای طبیعی به خصوص در مناطق خشک و نیمه خشک دارد، ساعات آفتابی است. میزان ساعات آفتابی در یک روز عبارت است از مدت زمانی در طی روز که خورشید در آسمان وجود دارد و به وسیله ابرها پنهان نمی‌گردد (Yin, 1999:61). این عامل با تأثیری که در تعیین میزان تابش خورشید دارد، عامل اصلی کنترل حیات، آب و هوا و سایر فعالیت‌های زیستی در سطح زمین به شمار می‌رود (کاویانی و علیجانی، ۱۳۱۲:۵۷).

در ارتباط با موضوع این تحقیق، در خارج از کشور تحقیقاتی صورت گرفته است که به برخی از آن‌ها اشاره می‌شود. در قطب جنوب، پراکندگی مکانی داده‌های ماهانه، فصلی و سالانه میزان ساعات آفتابی در ۱۱ ایستگاه در دوره‌ی ۲۰ ساله مورد بررسی قرار گرفت. نتایج بررسی نشان داد که هر چند مقادیر ساعات آفتابی با عرض جغرافیایی رابطه دارد، ولی توپوگرافی محلی می‌تواند نقش مهم‌تری داشته باشد (Giless, 1971: 21). در ایالات متحده، میزان ابرناکی و درصد تابش محتمل با استفاده از اطلاعات ۱۰۱ ایستگاه هواشناسی در دوره‌ی ۱۹۵۰ الی ۱۹۸۲ بررسی شد. نتیجه‌ی بررسی نشان داد که در طی این دوره، یک افزایش معنی‌دار به میزان ۳/۷ درصد در میزان ابرناکی رخ داده است؛ در حالی که میزان تابش آفتاب، یک کاهش معنی‌دار ۰/۹ درصدی را تجربه کرده است. بیشترین تغییرات میزان ابرناکی و ساعات آفتابی، در فصل پاییز و کمترین آن در فصل بهار مشاهده شده است (Angell et al, 1984: 752).

در ترکیه با استفاده از روش‌های آماری، تغییرات و روندهای ساعات تابش آفتاب در شهر آنکارا در دوره‌ی زمانی ۱۹۵۵ الی ۱۹۹۶ مورد بررسی قرار گرفت. نتایج

بررسی، نشان‌دهنده‌ی کاهش میزان سالانه‌ی ساعات آفتابی از دهه‌ی ۱۹۶۰ به بعد بوده است که با تغییرات سایر پارامترها مانند رطوبت نسبی توجیه می‌شود (Askoy, 1999:229). در سودان میزان تابش خورشیدی با بهره‌گیری از میزان ساعات آفتابی و برخی از پارامترهای دیگر در ۱۶ ایستگاه هواشناسی برآورد گردید (Elgaib and Mansell, 2000: 419). بررسی روند چند عنصر اقلیمی در ۱۱ ایستگاه سینوپتیک جمهوری چک مشخص نمود که میزان ساعات آفتابی، ابرناکی و دامنه‌ی شباهنگی دما در این کشور تغییرات معناداری نداشته است (Huth and Pokorna, 2005: 469).

بر پایه‌ی ارزیابی میانگین ماهانه‌ی چند پارامتر هواشناسی در ۵۳ ایستگاه هواشناسی دلتای یانگتسه و نواحی اطراف آن در یک دوره‌ی ۳۷ ساله این نتیجه حاصل شد که میزان ساعات آفتابی به صورت مشخصی کاهش یافته و این کاهش در شهرها بسیار واضح‌تر بوده است (Chen et al, 2006: 11). اما در بررسی مشابهی در کشور یونان بر روی توزیع زمانی و مکانی میزان ساعات آفتابی در یک دوره‌ی ۳۰ ساله معلوم شد که میزان سالانه‌ی ساعات آفتابی در دوره‌ی مورد بررسی تغییرات معنادار نداشته است (Matzarakis and Katsoulis, 2006: 107).

مطالعه‌ی سری‌های زمانی ساعات آفتابی و چندین پارامتر دیگر در رصدخانه‌ی آرمگ^۱ ایرلند شمالی مشخص نمود که میزان کل ساعات آفتابی از سال ۱۸۸۵ کاهش محسوسی داشته و این کاهش، با افزایش میزان ابرناکی و کاهش دامنه‌ی شباهنگی دما همزمان بوده است. در بخش دیگر این مطالعه، مشخص شد که چرخه‌های ۷ تا ۸، ۲۰ تا ۲۳ و ۳۰ تا ۳۳ ساله در سری‌های فصلی و سالانه وجود دارد که بعضی از

در ایران به کمک یک مدل ساده ریاضی و با استفاده از میزان ساعت‌آفتابی و ابرناکی، مقدار تابش کلی خورشیدی مطالعه و سطح کشور از نظر میزان ساعت‌آفتابی و تابش خورشیدی به چهار منطقه‌ی مجزا تقسیم شد (صمیمی، ۱۳۷۱: ۱۸). در استان تهران مشخص گردید که مقادیر سالانه، فصلی و ماهانه‌ی میزان ساعت‌آفتابی، روندهای کاهشی داشته‌اند (محمدی، ۱۳۱۰: ۵۳). همچنین در پهنه‌بندی اقلیمی ایران بر اساس تحلیل خوش‌های و تحلیل عاملی، از تابش خورشیدی و شاخص میزان ساعت‌آفتابی به عنوان یکی از شش عنصر مؤثر در طبقه‌بندی استفاده به عمل آمد (مسعودیان، ۱۳۱۲: ۱۷۱). در پهنه‌بندی استان سیستان و بلوچستان نیز بر اساس تحلیل خوش‌های و تحلیل عاملی، از عامل میزان ساعت‌آفتابی به عنوان یکی از پنج عامل مؤثر در طبقه‌بندی اقلیمی استفاده شد (سلیقه و همکاران، ۱۳۱۷: ۱۰۱). در ایستگاه ارومیه با استفاده از معادلات رگرسیونی (خلیلی‌آقدم و سلطانی، ۱۳۱۱: ۱۴۱) و در ایستگاه‌های همدان (نوژه) و تبریز با استفاده از آزمون من-کنдал و معادلات رگرسیونی (کریمی و سپهری، ۱۳۱۹: ۱۴۳)، افزایش معنی‌دار تعداد ساعت‌آفتابی در برخی از ماه‌ها و فصول سال به اثبات رسید. در مطالعه دیگری سطح ایران بر اساس طبقه‌بندی اقلیمی کوپن و با در نظر گرفتن ساعت‌آفتابی، به پنج منطقه‌ی اقلیمی تقسیم و مقادیر تابش خورشیدی با مدل آنگستروم برآورد گردید (معینی و همکاران، ۱۳۱۹: ۱). همچنین طی سه مطالعه‌ی جداگانه و با مبنای قرار دادن میزان ساعت‌آفتابی، مقادیر تابش خورشیدی در ایستگاه تهران شمال با بهره‌گیری از مدل‌های یک متغیره و چند متغیره‌ی خطی (خلیلی و همکاران، ۱۳۱۹: ۱۴۳)، در منطقه باجگاه استان فارس با مدل آنگستروم و چندمدل دیگر (مجنونی و همکاران، ۱۳۱۷: ۴۹۱) و در ایستگاه تهران

این چرخه‌ها به صورت کاملاً واضحی با نوسان اطلس شمالی^۱ مطابقت دارد (Butler et al, 2007: 157). در مطالعه‌ای در ناحیه پیری^۲ کشور کانادا روند کاهشی میزان ساعت‌آفتابی از دهه‌ی ۱۹۵۰ به اثبات رسید (Cutforth and Judiesch, 2007: 167). همچنین در شرق چین معلوم شد که میزان ساعت‌آفتابی در فصول گرم به علت افزایش میزان هوایزها کاهش یافته است (Xiaohui et al, 2008: 730). طی مطالعه‌ای در ناحیه ابرو^۳ در شمال شرق اسپانیا تغییرات میزان ساعت‌آفتابی و ابرناکی در یک دوره‌ی ۹۷ ساله بررسی و بیان گردید که از دهه‌ی ۱۹۱۰ نوسانات شدید ولی بدون روند آماری معنی‌دار در میزان ساعت‌آفتابی رخ داده است (Curto et al, 2009: 2183). بررسی دیگری در شمال چین با استفاده از داده‌های ۸۲/۸۵ ایستگاه هواشناسی، حکایت از کاهش ساعتی در میانگین دهه‌ای ساعت‌آفتابی داشت؛ همچنین مشخص کرد که بیشترین کاهش ساعت‌آفتابی در فصل تابستان و کمترین کاهش در فصل زمستان رخ داده است. از نظر مکانی نیز کاهش میزان ساعت‌آفتابی در نواحی داخلی دشت‌ها، بیشتر از نواحی کوهستانی و ساحلی بوده است. در بخش دیگری از این بررسی، سرعت باد به دلیل نقش آن در حمل آئروسل‌ها و گرد و غبار به عنوان مهم‌ترین عامل در کاهش میزان ساعت‌آفتابی مطرح شده است (Yang et al, 2009: 91). برای مدل‌سازی و برآورد میزان تابش خورشیدی براساس داده‌های اقلیمی، در چین (Wu et al, 2007: 2447)، ترکیه (Bakirci, 2009: 2580) و تبوک عربستان (Maghrabi, 2009: 2754) از عواملی مانند میزان ساعت‌آفتابی، بارش کل، دمای نقطه شبنم، رطوبت نسبی، دما و فشار هوا استفاده شده است.

1-North Atlantic Oscillation

2-Prairie

3-Ebro

مواد و روش‌ها

در راستای اهداف تحقیق، تعداد ساعات آفتابی در ۸۷ ایستگاه سینوپتیک کشور در یک دوره‌ی ۲۰ ساله (۱۹۸۶ تا ۲۰۰۵) مورد بررسی قرار گرفت. آمار اولیه از سایت سازمان هواشناسی کشور، جمع‌آوری و پس از بازسازی، به صورت سری‌های زمانی فصلی و سالیانه، تنظیم و با استفاده از نرم‌افزار spss پردازش‌های آماری بر روی آن‌ها انجام شد. سپس با استفاده از نرم‌افزار surfer، نقشه‌های هم ارزش میانگین و ضریب تغییرات ساعات آفتابی رسم گردید. در مرحله‌ی بعد، سطح کشور بر مبنای داده‌های ساعات آفتابی فصلی و سالیانه با استفاده از نرم‌افزار ArcGIS، با روش تحلیل خوش‌های به روش وارد پهنه‌بندی گردید. برای تأیید صحت پهنه‌بندی، در صورت برقرار بودن سه شرط (استقلال گروه‌ها، برابری واریانس‌ها و نرمال بودن توزیع جامعه) از آزمون‌های پارامتریک و در غیر این صورت از آزمون‌های ناپارامتریک به منظور آزمودن معنی‌دار بودن اختلاف میانگین تعادل ساعات آفتابی بین خوش‌های استفاده شد. بدین ترتیب که برای سنجش معنی‌دار بودن اختلاف میانگین‌های دوبعدی‌بی‌گروه‌ها، از آزمون پارامتریک سیداک^۲ که آزمونی حساس برای کشف اختلافات است یا آزمون ناپارامتریک من-ویتنی^۳ استفاده شد و برای سنجش معنی‌دار بودن اختلاف میانگین‌های چند گروهی، از آنالیز واریانس یک طرفه^۴ یا آزمون ناپارامتریک کروسکال-والیس^۵ استفاده گردید. همچنین برای آزمودن نرمال بودن توزیع جامعه از آزمون کلموگروف- اسمیرنوف^۱ و برای برآورد تعادل ساعات آفتابی و نیز شناسایی روندهای زمانی آن، به ترتیب از معادلات رگرسیون خطی چندمتغیره و ساده استفاده شد.

شمال در مقیاس‌های زمانی مختلف با رابطه آنگستروم- پرسکات^۱ (آقاشریعتمند/ری و همکاران، ۱۳۹۰: ۹۰۵) برآورد گردید. به منظور امکان‌سنجی استفاده از انرژی خورشیدی جهت تأمین سرمایش ساختمان‌ها در نقاط مختلف ایران و تعیین پتانسیل شهرهای مختلف برای بهره‌مندی از این انرژی ارزان، تعداد ساعات آفتابی مبنای محاسبه‌ی مقدار انرژی خورشیدی تابیده به هر منطقه قرار گرفت و با استفاده از دمای هوا و مقدار تابش، بازدهی کلکتورهای (گرداورهای) خورشیدی در طراحی سیستم‌های چیلر جذبی خورشیدی بررسی گردید (عربی و دهقانی، ۱۳۱۹: ۶۰).

با جمع‌بندی تحقیقات فوق می‌توان اذعان نمود که گرچه تأثیر عواملی همچون عرض‌جغرافیایی، توبوگرافی و دوری و نزدیکی به منابع رطوبی بر میزان ساعات آفتابی قبل انکار نیست؛ لیکن مطالعه کم و کیف تأثیر این عوامل بر ساعات آفتابی، نیازمند مطالعات بیشتری است. اغلب تحقیقات مربوط به برآورد تابش خورشیدی، از مدل آنگستروم- که از ساعات آفتابی به عنوان مهم‌ترین ورودی خود بهره می‌برد- استفاده کرده‌اند. همچنین بیشتر تحقیقات خارجی، نشان‌دهنده‌ی کاهش یا عدم وجود روندهای معنی‌دار و تحقیقات داخلی نشان‌دهنده‌ی هر دو روند کاهشی یا افزایشی معنی‌دار در میزان ساعات آفتابی است. با توجه به اهمیت ویژه‌ای که عنصر ساعات آفتابی در برنامه‌ریزی‌های مختلف به خصوص برنامه‌ریزی‌های استفاده از انرژی‌های نو دارد و نیز به منظور شناخت دقیق‌تر آب و هوای کشور، هدف این تحقیق آن است تا تصویری از ناموزونی‌ها و روندهای ساعات آفتابی در ایران، ارائه و مقادیر ساعات آفتابی را برآورد نماید.

2-Sidak

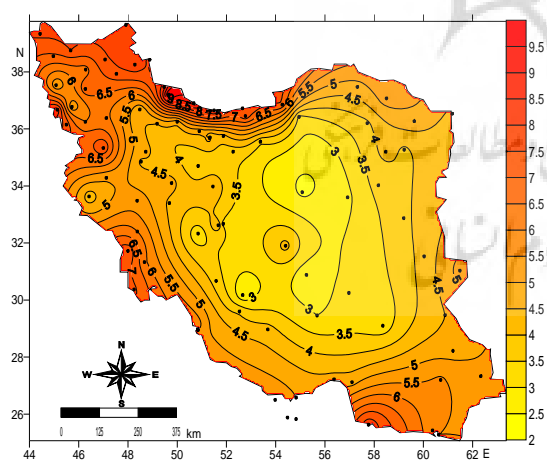
3-Mann- Whitney

4-One-Way ANOVA

5-Kruskal- Wallis

1-Angstrom-Prescott

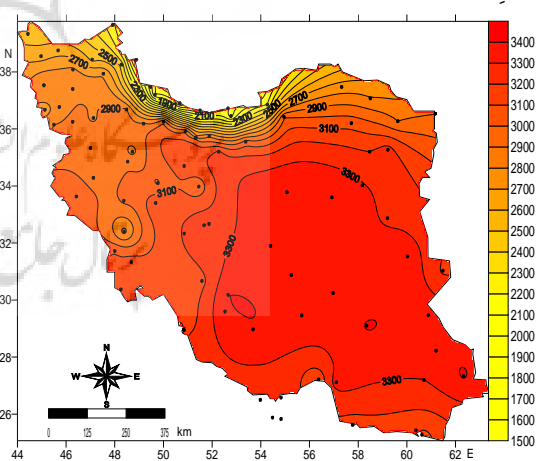
شباهت‌های زیادی دارد. افزایش ساعت‌آفتابی به سمت جنوب و شرق کشور را می‌توان به نزدیکتر شدن به مناطق تحت استیلای پرفسار جنوب حاره‌ای آذور و نرسیدن رطوبت کافی به منطقه مرتبط دانست. تنها استثنای این امر، کاهش دوباره‌ی ساعت‌آفتابی به سمت سواحل جنوب و جنوب‌شرق به خصوص در فصل تابستان است (شکل ۳) که اندکی خود را در وضعیت سالانه نیز نشان می‌دهد (شکل ۱). علت این امر، افزایش رطوبت در سواحل و نفوذ سیستم‌های موسمی تابستانه به این مناطق است. در حالی که کاهش ساعت‌آفتابی رو به شمال کشور به دلیل عبور امواج کوتاه و سیکلون‌های غربی در دوره‌ی سرد سال دور از انتظار نیست. به خصوص کاهش قابل توجه آن در سواحل دریای خزر به دلیل تراکم رطوبت این دریا در این جلگه باریک و محصور، طبیعی به نظر می‌رسد. تعداد ساعت‌آفتابی تابستانه در کشور، اندکی کمتر از دو برابر ساعت‌آفتابی زمستانه است (جدول ۱).



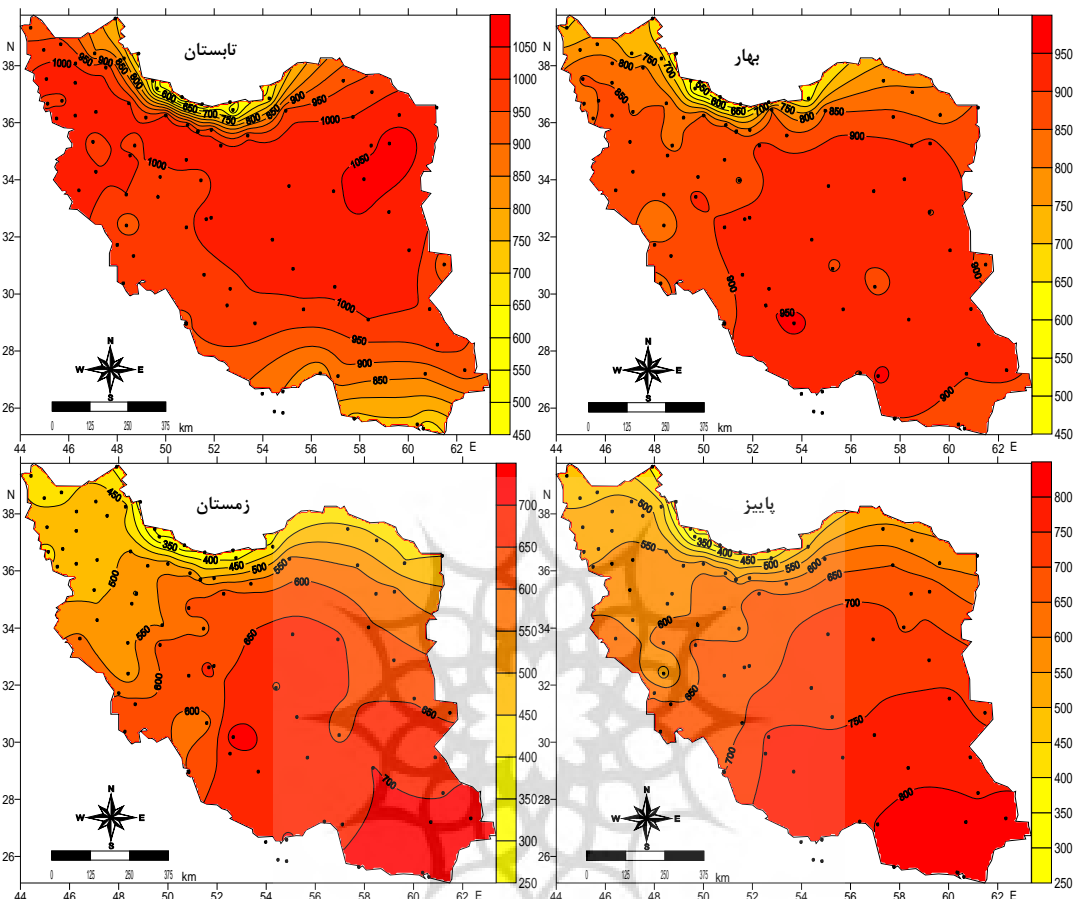
شکل ۲: توزیع مکانی ضرایب تغییرپذیری سالانه تعداد ساعت‌آفتابی در ایران (بر حسب درصد)
مأخذ: مطالعات میدانی نگارندگان، ۱۳۹۰

نتایج و بحث

بر اساس محاسبات، میانگین سالانه‌ی تعداد ساعت‌آفتابی در ایستگاه‌های کشور در دوره‌ی مورد مطالعه، ۲۹۵۴ ساعت بوده است که قسمت‌های مرکزی و جنوب‌شرقی، بیشترین مقدادیر (حداکثر در ایستگاه سراوان ۳۴۰۸ ساعت) و سواحل شمال کشور، کمترین مقدادیر (حداقل در ایستگاه رامسر ۱۵۸۷ ساعت) را دارند (شکل ۱). میانگین تعداد ساعت‌آفتابی سالانه بیش از ۲۹۰۰ ساعت برای ایران توسط گزارش‌های معتبر دیگر (وزارت نیرو، ۱۳۱۹: ۱۱) نیز تأیید می‌شود. متوسط تغییرپذیری سالانه‌ی تعداد ساعت‌آفتابی در سطح کشور $5/3$ درصد است که بر عکس توزیع میانگین ساعت‌آفتابی، در مناطق مرکزی کشور، دارای کمترین تغییرات $2/4$ درصد در خوربیانک) و در سواحل شمال کشور که کمترین مقدادیر ساعت‌آفتابی را دارد، دارای بیشترین تغییرات $10/1$ درصد در ایستگاه رشت است (شکل ۲). توزیع میانگین‌های فصلی تعداد ساعت‌آفتابی نیز با میانگین سالانه



شکل ۱: توزیع مکانی تعداد ساعت‌آفتابی سالانه در ایران (۱۹۸۶-۲۰۰۵)
مأخذ: مطالعات میدانی نگارندگان، ۱۳۹۰



شکل ۳: نقشه‌های توزیع مکانی تعداد ساعت‌آفتابی فصلی در ایران (۱۹۸۶-۲۰۰۵)

مأخذ: مطالعات میدانی نگارندگان، ۱۳۹۰

جدول ۱: آمارهای تعداد ساعت‌آفتابی فصلی و سالانه در ایران (۱۹۸۶-۲۰۰۵)

دوره زمانی	میانگین (ساعت)	حداقل ایستگاه-ساعت	حداکثر ایستگاه-ساعت	تغییرپذیری (درصد)
بهار	۸۴۲	۴۸۷	۹۶۳	۸/۳
تابستان	۹۳۰	۴۷۴	۱۰۶۹	۵/۱
پاییز	۶۲۵	۲۹۶	۸۲۷	۹/۷
زمستان	۵۵۷	۲۹۳	۷۴۳	۱۲/۹
سال	۲۹۵۴	۱۵۸۷	۳۴۰۸	

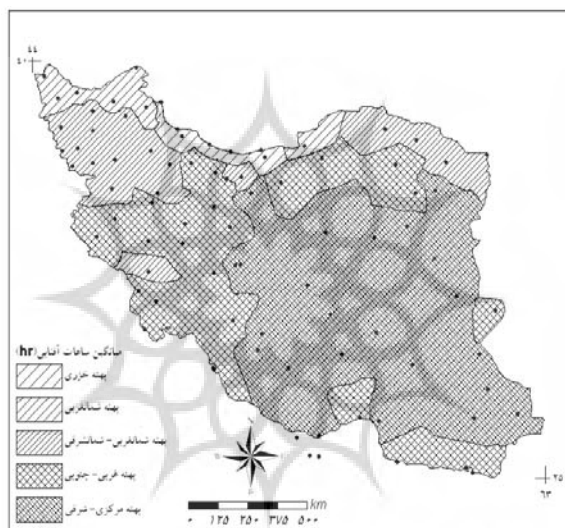
مأخذ: مطالعات میدانی نگارندگان، ۱۳۹۰

سواحل دریای خزر در تعداد ساعت‌آفتابی به خوبی مشخص است. برای تأیید صحت پهنه‌بندی‌ها، بر اساس مطالعاتی که در بخش مواد و روش‌ها عنوان شد، شروط استفاده از آزمون‌های پارامتریک (آزمون

نقشه‌های پهنه‌بندی سالانه و فصلی ایران بر مبنای تعداد ساعت‌آفتابی، در شکل‌های ۴ و ۵ و اطلاعات مربوطه، در جدول ۲ ارائه شده است. در تمام نقشه‌های پهنه‌بندی، نقش عرض جغرافیایی و رطوبتِ

سطح ۰/۰۵ تأیید نمودند. نمونه‌هایی از خروجی آزمون کروسکال-والیس برای پهنه‌بندی سالانه و آزمون من-ویتنی برای مقایسه‌ی پهنه‌های ۱ و ۳ سالانه (شکل ۴-جدول ۲) در جدول ۳ آورده شده است. به شماره‌ی پهنه‌ها، تعداد ایستگاه‌ها و سطح معناداری صفر در این جدول- که نشان‌دهنده‌ی رد شدن فرض صفر برابری میانگین تعداد ساعت‌آفتابی سالانه بین پهنه‌ها و تأیید صحت پهنه‌بندی است- توجه فرمایید.

سیداک برای سنجش معنی‌دار بودن اختلاف دو به دویی میانگین‌های پهنه‌ها و آنالیز واریانس یک طرفه برای سنجش معنی‌دار بودن اختلاف میانگین‌های پهنه‌ها (فقط برای سری‌های زمانی پاییز و زمستان برقرار بود. برای بقیه‌ی سری‌های زمانی، از معادله‌ای ناپارامتریک آن‌ها (آزمون من-ویتنی برای مقایسات دو به دویی و آزمون کروسکال-والیس برای مقایسات چندگانه) استفاده شد. تمام آزمون‌های فوق، اختلاف معنی‌دار بین میانگین‌های ساعت‌آفتابی پهنه‌ها را در



شکل ۴: پهنه‌بندی ایران بر اساس میانگین ساعت‌آفتابی سالانه (۱۹۸۶-۲۰۰۵)

مأخذ: مطالعات میدانی نگارنده‌گان، ۱۳۹۰

جدول ۲: مشخصات پهنه‌های میزان ساعت‌آفتابی سالانه در ایران (۱۹۸۶-۲۰۰۵)

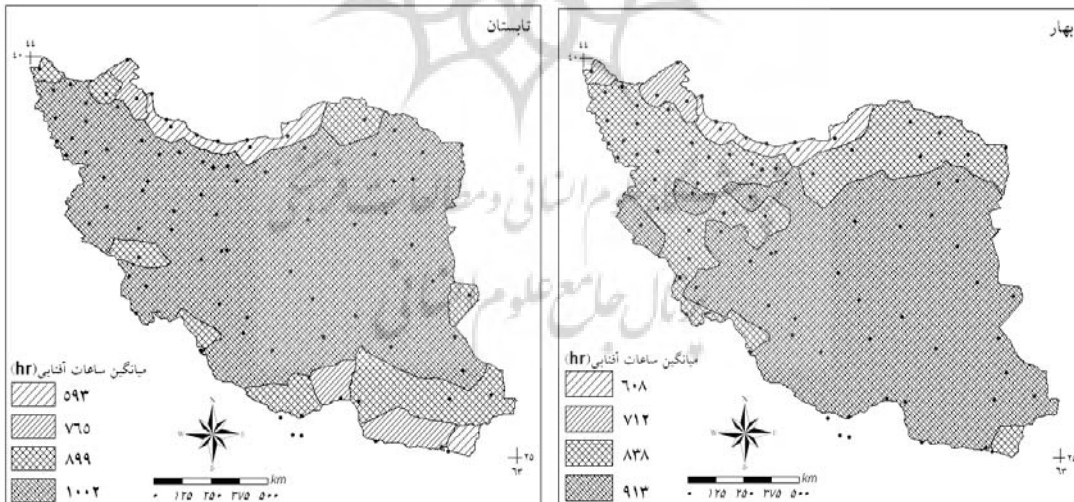
ردیف نام پهنه	نمایم‌ دینه (ساعت)	نمایم‌ نیمه (ساعت)	نمایم‌ سکونتی پهنه‌ی پهنه‌ها						
۱ مرکزی- شرقی	۳۲۲۰	۳۴۰۸	۱/۹	۶۳/۴	۳۲۳۰	۴۹/۳	۲۶		
۲ شمال غربی- شمال شرقی	۲۷۴۲	۲۹۲۵	۲/۱	۵۹/۷	۲۸۵۷	۱۴/۸	۲۰		
۳ غربی- جنوبی	۲۹۴۴	۳۲۰۸	۲/۷	۸۴/۷	۳۰۹۲	۲۹/۵	۲۷		
۴ خزری	۱۵۸۷	۲۰۱۴	۸	۱۴۴/۸	۱۸۲۰	۲/۱	۷		
۵ شمال غربی	۲۲۰۰	۲۶۵۴	۷/۷	۱۸۹/۹	۲۴۷۵	۴/۳	۷		

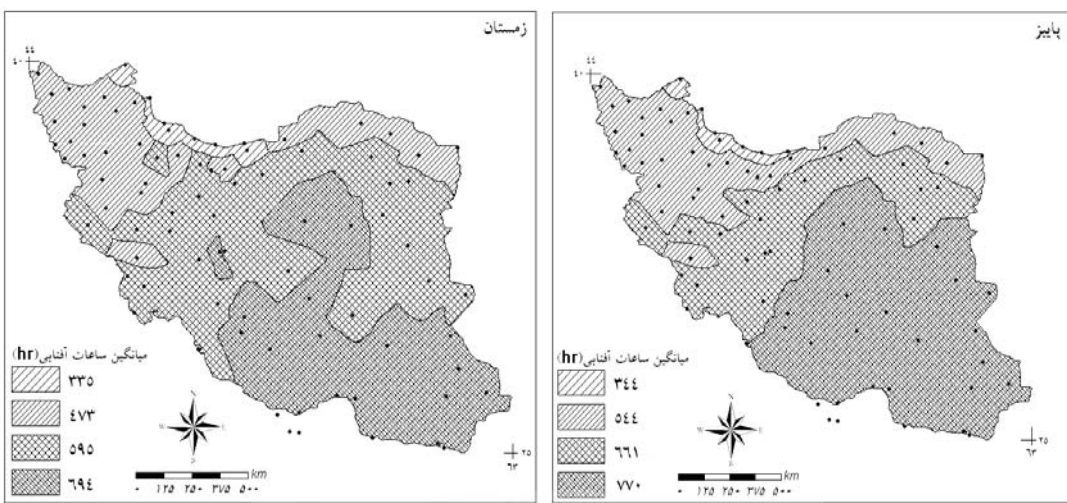
مأخذ: مطالعات میدانی نگارنده‌گان، ۱۳۹۰

جدول ۳: نمونه‌هایی از خروجی آزمون کروسکال- والیس برای مقایسه میانگین تعداد ساعت‌آفتابی سالانه پهنه‌ها و آزمون من- ویتنی برای مقایسه میانگین تعداد ساعت‌پهنه‌های ۱ و ۲

آزمون کروسکال- والیس			آزمون من- ویتنی		
رتبه‌ها			رتبه‌ها		
رتبه‌ی متوسط	N	پهنه	جمع رتبه‌ها	رتبه‌ی متوسط	N
۷۴/۵۰	۲۶	۱	۱۰۵۳	۴۰/۵۰	۲۶
۲۵/۵۰	۲۰	۲	۳۷۸	۱۴/۰۰	۲۷
۴۷/۱۷	۲۷	۳			۵۳
۴/۰۰	۷	۴			جمع
۱۱/۳۶	۷	۵			
	۸۷	جمع			
آماره‌های آزمون (متغیر گروه‌بندی: پهنه)					
تعداد ساعت‌آفتابی					
۷۸/۳۱۳	(Chi-square)	خی دو (Chi-square)	۰/۰۰۰	Mann-Whitney U	
۴		درجه آزادی (df)	۳۷۸	Wilcoxon W	
۰/۰۰۰		سطح معناداری	-۶/۲۴۵	Z	

مأخذ: مطالعات میدانی نگارندگان، ۱۳۹۰





شکل ۵: پهنه‌بندی ایران بر اساس میانگین تعداد ساعت آفتابی فصلی (۱۹۸۶-۲۰۰۵)

مأخذ: مطالعات میدانی نگارندگان، ۱۳۹۰

علامت این ضریب، نشانگر جهت تأثیر و مقدار ضریب، از ۱ تا -۱ متغیر است) نشان می‌دهد که عموماً نقش عرض جغرافیایی در کنترل تعداد ساعت آفتابی، به خصوص در دو فصل پاییز و زمستان (ضریب -0.94) بسیار چشمگیرتر از ارتفاع است؛ در حالی که نقش این عامل در تابستان، ضعیف تر (ضریب -0.19) و در مقابل، نقش ارتفاع بارزتر است (ضریب 0.71). نمونه‌ای از خروجی‌های رگرسیون برآورده سالانه در جدول ۵ نشان داده شده است. سطوح معناداری صفر در این جدول (علاوه بر مقدار بالای 1° که در فوق نیز گفته شد) تأییدی دیگر بر اعتبار مدل است. مقدادیر سطح معناداری معادلات فصول نیز به همین گونه بود.

جدول ۴، معادلات رگرسیونی چندمتغیره‌ی برآورد تعداد ساعت آفتابی را در کشور نشان می‌دهد. با توجه به مقادیر بالای 1° می‌توان تعداد ساعت آفتابی (N) را در سطح کشور بر مبنای عرض جغرافیایی (lat) و ارتفاع (h) به خوبی برآورد کرد. بر اساس معادله‌ی ردیف اول جدول، ۷۰ درصد از تغییرات سالانه‌ی تعداد ساعت آفتابی، توسط عرض جغرافیایی و ارتفاع، توجیه می‌شود. با هر درجه افزایش عرض جغرافیایی، در حدود ۸۶ ساعت از تعداد سالانه‌ی ساعت آفتابی، کاسته و با هر متر افزایش ارتفاع، $3/35$ ساعت به تعداد سالانه‌ی ساعت آفتابی افزوده می‌شود. مقایسه‌ی ضرایب β استاندارد مربوط به ارتفاع و عرض جغرافیایی (به ترتیب βh و βlat) جدول و با یادآوری این نکات که

جدول ۴: معادلات رگرسیونی برآورد تعداد ساعت آفتابی در ایران

دوره‌ی زمانی	مدل		βh	βlat	سطح معناداری
سال	$N = 5497 + 0.35 h - 86 lat$		۰/۵۶	-۰/۷۹	۰/۰۰۰
زمستان	$N = 1426 + 0.06 h - 27/6 lat$		۴۸	-۰/۹۴	۰/۰۰۰
بهار	$N = 1408 + 0.09 h - 19/4 lat$		۶۲	-۰/۷۴	۰/۰۰۰
تابستان	$N = 1015 + 0.14 h - 6/7 lat$		۱۰۱	-۰/۱۹	۰/۰۰۰
پاییز	$N = 1630 + 0.07 h - 31/9 lat$		۵۴	-۰/۳۵	۰/۰۰۰

مأخذ: مطالعات میدانی نگارندگان، ۱۳۹۰

جدول ۵: نمونه‌ای از خروجی‌های رگرسیون چندمتغیره (سالانه)

خلاصه مدل

خطای معیار برآورد (SE)	R^2 تطبیق‌یافته	R^2	R	مدل
۲۳۷/۳۴	۰/۶۸۸	۰/۷	۰/۸۳۶ ^a	۱

^a. پیش‌بینی کننده‌ها: (Constant)، ارتفاع، عرض جغرافیایی^a ضرایب

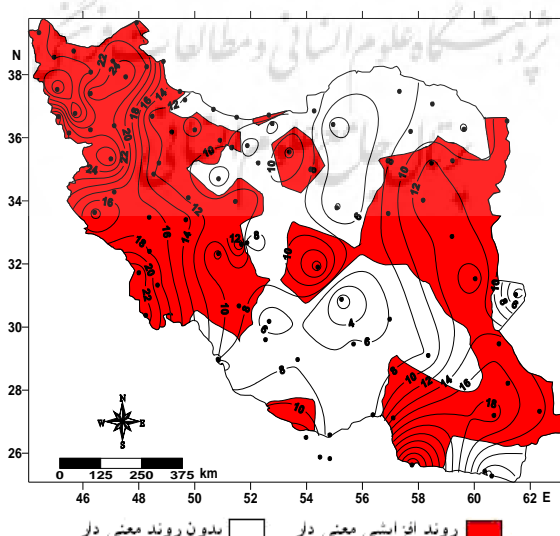
سطح معناداری	t	ضرایب استاندارد شده		ضرایب استاندارد شده	مدل
		Beta	خطای معیار	B	
۰/۰۰۰	۲۴/۶۷۸			۲۲۲/۷۶۴	(Constant)
۰/۰۰۰	-۱۲/۶۱۲	-۰/۷۹۰		۶/۸۲۲	عرض جغرافیایی (lat)
۰/۰۰۰	۸/۹۵۶	۰/۵۶۱		۰/۰۳۹	ارتفاع (h)

^a متغیر وابسته: تعداد ساعت‌های آفتابی سالانه

مأخذ: مطالعات میدانی نگارندگان، ۱۳۹۰

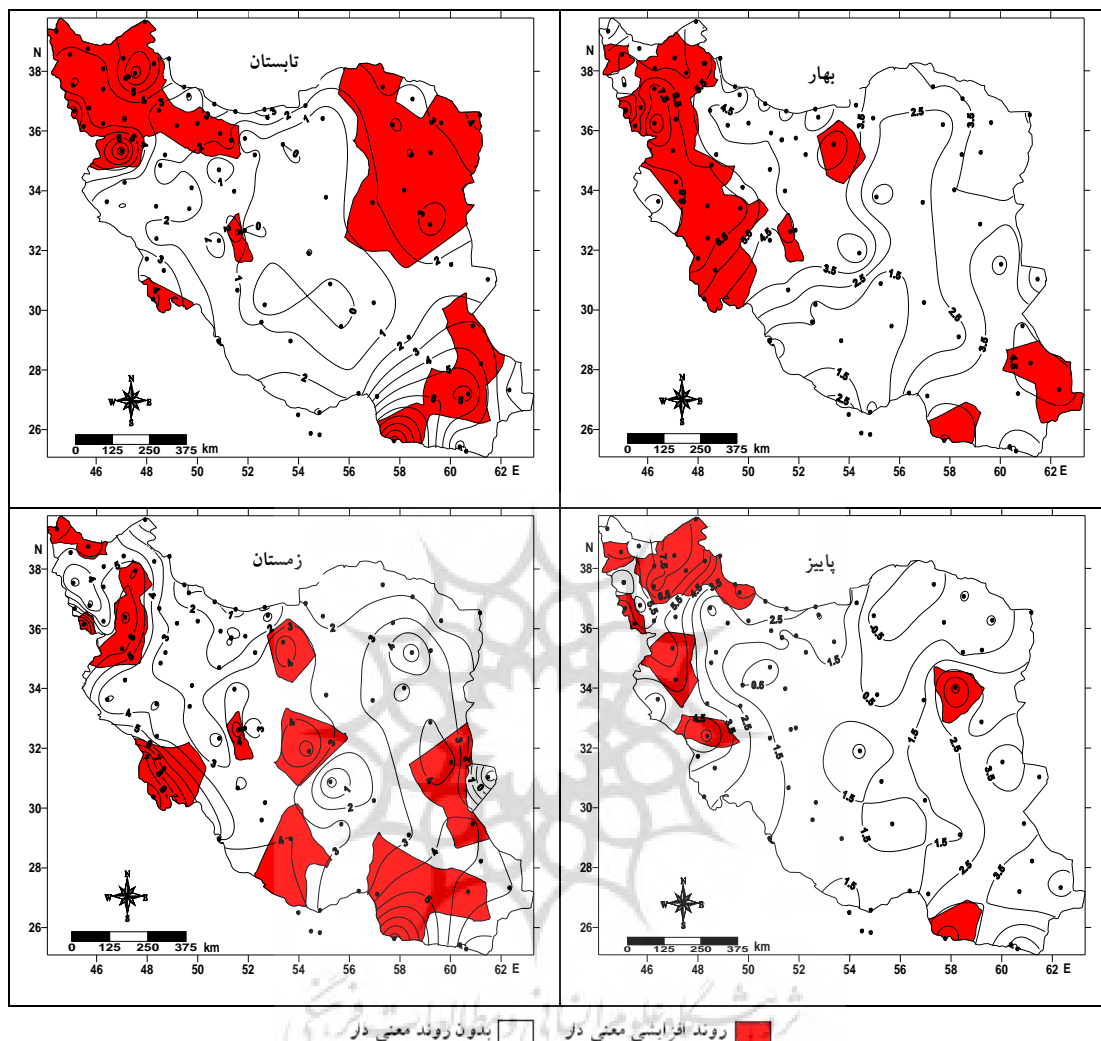
ایستگاه شهرکرد به میزان ۷/۱ ساعت در سال محاسبه شده است. در ۴۴ درصد از مساحت باقی مانده‌ی کشور، روندهای معنی‌دار نیست (گرچه مقادیر روند مثبت است) (شکل ۶). در هیچ ایستگاهی از کشور، روند کاهشی معنی‌دار مشاهده نشده است. وضعیت روندهای فصلی (شکل ۷) نیز مشابه روند سالانه است و به طور کلی در هر چهار فصل، مساحت بیشتری از کشور، روندهای معنی‌دار را نشان نمی‌دهد.

روندهای زمانی تعداد ساعت‌های آفتابی با استفاده از معادلات رگرسیون خطی محاسبه شد. بر این اساس، در بیش از نصف مساحت کشور (۵۶ درصد)، تعداد ساعت‌های آفتابی به طور میانگین ۱۶/۶ ساعت در سال افزایش معنی‌دار می‌باشد. این روندها در نیمه‌ی غربی و قسمت‌هایی از شرق، جنوب‌شرق و جنوب کشور مشاهده می‌شود (شکل ۶). بیشترین مقدار روند افزایشی در این منطقه در ایستگاه جاسک در سواحل جنوبی کشور با ۳۲/۵ ساعت در سال و کمترین آن در



شکل ۶: نقشه‌ی مقادیر روند سالانه‌ی تعداد ساعت‌های آفتابی در ایران (ساعت در سال)

مأخذ: مطالعات میدانی نگارندگان، ۱۳۹۰



شکل ۷: نقشه‌های مقادیر روند فصلی ساعت‌آفتابی در ایران (ساعت در سال) (۱۹۸۶-۲۰۰۵)
مأخذ: مطالعات میدانی نگارندگان، ۱۳۹۰

مناطق اتفاق می‌افتد (شکل ۳). در نقشه‌های پهنه‌بندی ساعت‌آفتابی (شکل‌های ۴ و ۵)، نقش عرض جغرافیایی و رطوبت سواحل، به خصوص در شمال کشور، کاملاً مشهود است؛ اما در تابستان، نقش ارتفاع، بارزتر است. مدل رگرسیونی به کار رفته (جدول ۴)، نشان‌دهنده‌ی نقش بارز عرض جغرافیایی و ارتفاع در کنترل تعداد ساعت‌آفتابی و نتیجتاً امکان برآورد مناسب تعداد ساعت‌آفتابی بر مبنای این دو عامل است.

نتیجه

به طور کلی از شمال به جنوب و از غرب به شرق کشور بر تعداد ساعت‌آفتابی افزوده و از تغییرپذیری آن کاسته می‌شود (شکل‌های ۱ و ۲). نقش پر فشار جنب حرراهای آزور در مناطق مرکزی و جنوبی کشور و حالت بادپناهی این نواحی، در موقع وضعیت یادشده تأثیر چشمگیری دارد. کاهش دوباره‌ی ساعت‌آفتابی به سمت جنوب به خصوص در فصل تابستان به دلیل افزایش رطوبت و نفوذ سیستم‌های موسمی به این

- خلیلی، علی؛ پرویز ایران‌نژاد؛ زهراءفشاری‌عتمداری (۱۳۸۹). مقایسه‌ی کارآیی مدل‌های یک متغیره و روابط چند متغیره‌ی خطی در برآورد تابش دریافتی بر سطح افقی در سطح زمین با استفاده از متغیرهای هواشناسی، مطالعه‌ی موردي ایستگاه تهران شمال (اقدسیه). چهاردهمین کنفرانس ژئوفیزیک ایران. تهران.
- سلیقه، محمد؛ فرامرز برمیانی؛ مرتضی اسماعیل‌نژاد (۱۳۸۷). پنهان‌بندی اقلیمی استان سیستان و بلوچستان، جغرافیا و توسعه. ۱۲.
- عربی، مهسا؛ محمدرضا دهقانی (۱۳۸۹). بررسی فنی و اقتصادی سیستم‌های چیلر جذبی خورشیدی در ایران، مجله‌ی مهندسی شیمی ایران. ۴۶.
- صمیمی، جلال (۱۳۷۱). برآورد تابش خورشیدی در ایران و مطالعه‌ی امکان استفاده گرمایشی از انرژی خورشیدی، فیزیک. ۱۲ (۱۰).
- کاویانی، محمدرضا؛ بهلول علیجانی (۱۳۸۲). مبانی آب و هواشناسی، چاپ نهم. تهران. انتشارات سمت.
- کریمی‌کاخکی، مصطفی؛ علی سپهری (۱۳۸۹). روندهای تغییر اقلیم طی دو دوره در همدان و تبریز، دانش آب و خاک. ۲۰ (۴).
- مجتبونی‌هریس، ابوالفضل؛ شاهرخ زندپارسا؛ علیرضا سپاسخواه؛ محمدمجعفر نظام‌السدات (۱۳۸۷). توسعه و ارزیابی مدل‌های تخمین تابش خورشیدی بر اساس ساعت‌آفتابی و اطلاعات هواشناسی، علوم و فنون کشاورزی و منابع طبیعی. ۴۶.
- محمدی، مریم (۱۳۸۰). بررسی روند تغییرات دما، بارش، رطوبت و ساعت‌آفتابی در تهران در دوره‌ی زمانی (۱۳۴۰-۱۳۷۴)، پایان‌نامه‌ی کارشناسی ارشد. گروه جغرافیا. دانشگاه تربیت مدرس. تهران.
- مسعودیان، سیدابوالفضل (۱۳۸۲). نواحی اقلیمی ایران، جغرافیا و توسعه. ۲.

گرچه همان‌طور که در مقدمه‌ی مقاله ذکر شد، اغلب مطالعات انجام یافته در سطح جهان، از کاهش تعداد ساعت‌آفتابی، سخن به میان می‌آورند، لیکن با توجه به نتایج این تحقیق، هیچ کاهش معنی‌داری در تعداد ساعت‌آفتابی در هیچ ایستگاهی مشاهده نشد (شکل‌های ۶ و ۷) و در مقابل، در ۵۶ درصد از مساحت کشور، تعداد ساعت‌آفتابی به طور میانگین ۱۶/۶ ساعت در سال افزایش معنی‌دار می‌یابد. به نظر می‌رسد که قرارگیری کشورهای یاد شده در عرض‌های جغرافیایی خاص (به خصوص عرض‌های بالا) و اثرگذاری متفاوت عوامل اقلیمی در این عرض‌ها، در کاهش تعداد ساعت‌آفتابی تأثیرگذار بوده باشد. از این‌رو شاید در پژوهش‌های آتی با مطالعه‌ی کامل وضعیت ابرناکی و رابطه‌ی آن با ساعت‌آفتابی و نیز مقایسه‌ی تطبیقی ساعت‌آفتابی در مناطق واقع در عرض‌های جغرافیایی مختلف (مثلًاً عرض‌های حاره، معتدله و بالا)، ابعاد مسئله، روشن‌تر شده، نتایج بهتری حاصل گردد. همچنین استفاده از روش‌های جدیدتر مانند شبکه‌ی عصبی مصنوعی می‌تواند به افزایش دقت برآوردها کمک شایان توجهی نماید.

منابع

- آفشاری‌عتمداری، زهراءفشاری؛ علی خلیلی؛ پرویز ایران‌نژاد؛ عبدالمجید لیاقت (۱۳۹۰). واسنجی و تغییرات سالانه‌ی ضرایب رابطه‌ی انگستروم- پرسکات (a و b) در مقیاس‌های زمانی مختلف، مطالعه‌ی موردي: ایستگاه تهران شمال (اقدسیه). نشریه آب و خاک (علوم و صنایع کشاورزی). ۲۵ (۴).
- خلیلی‌اقدم، نبی؛ افشین سلطانی (۱۳۸۸). بررسی تغییر اقلیم ارومیه طی ۵۰ سال گذشته، پژوهش‌های حفاظت آب و خاک. ۱۶ (۴).

- Elgaib, N. A.; Mansell, M. G (2000). New approaches for estimating global solar radiation across Sudan; energy conversion and management; 41.
- Giless, B (1971). The variation of bright sunshine in the Antarctic Peninsula 1945-1966; department of geography, university of Birmingham; 24.
- Huth, R.; Pokorna, L (2005). Simultaneous analysis of climatic trends in multiple variables; international journal of climatology; 25.
- Maghrabi, A. H (2009). Parameterization of simple model to estimate monthly global solar radiation based on meteorological variables and evaluation of existing solar radiation models for Tabuk, Saudi Arabia; energy conversion and management; 50.
- Matzarakis, A. P.; Katsoulis, V. D (2006). Sunshine duration hours over the Greek region; theoretical and applied climatology; 83.
- Wu, C.; Liu, Y.; Wang, T (2007). Methods and strategy for modeling daily global solar radiation with measured meteorological data; case study in Nanchang station, China; energy conversion and management; 47.
- Xiaohui, S.; Xiangde, X.; Lian, X (2008). Characteristics of climate change in the significant impact zone affected by aerosols over Eastern China in warm seasons; science in china press; 51.
- Yang, Y. h.; Zhao, N.; Hao, X. H.; Li, C. Q (2009). Decreasing trend of sunshine hours and related driving forces in North China; theoretical and applied climatology; 97 (1-2).
- Yin, X (1999). Bright sunshine duration in relation to precipitation, air temperature and geographic location; theoretical and applied climatology; 64.
- معینی، سام؛ شهرام جوادی؛ محسن کوکبی؛ محسن دهقان‌منشادی (۱۳۸۹). برآورد تابش خورشیدی در ایران با استفاده از یک مدل بهینه، نشریه‌ی انرژی ایران. (۲)۱۳
- وزارت نیرو (۱۳۸۹). آمار و نمودارهای انرژی ایران و جهان؛ دفتر برنامه‌ریزی‌های کلان وابسته به معاونت امور برق و انرژی.
- Angell, J. K.; Korshover, J.; Cotton, G. F (1984). Variation in United States cloudiness and sunshine 1950-1982; journal of climate and applied meteorology; 23.
- Askoy, B (1999). Analysis of changes in sunshine duration data for Ankara; theoretical and applied climatology; 64.
- Bakirci, K (2009). Models of solar radiation with hours of bright sunshine; a review; renewable and sustainable energy reviews; 13.
- Butler, C. J.; Suarez, G.; Palle, E (2007). Trends and cycles in long Irish meteorological series; proceedings of the royal Irish academy; 107.
- Chen, L. X.; Li, W. L.; Zhu, W. Q.; Zhou, X. J.; Zhou , Z . J.; Lio, H. L (2006). Seasonal trends of climate change in Yangtze Delta (China) and its adjacent regions and their formation mechanisms ; meteorology and atmospheric physics; 92 (1-2).
- Curto, J. J.; Also, E.; Palle, E.; Sole, J. G (2009). Short communication sunshine and synoptic cloud, observations at Ebro Observatory 1910-2006; international journal of climatology; 29.
- Cutforth, H. W.; Judisch, D (2007). Long term changes to incoming solar energy on the Canadian Prairie; agricultural and forest meteorology; 145.



پژوهشگاه علوم انسانی و مطالعات فرهنگی
پرستال جامع علوم انسانی